

Na-C-O

1954

875



Joffrey G.A., Parry G.S.

J.Amer.Chem.Soc., 1954, 76, N 21,
5283-5286

The crystal structure of ...

H1

1185

Na_2CO_3

Buijs K., Schutte C.J. H.

Spectrochim. Acta, 1961, 17,
927-932, n 9-10

У.К.спектр и структура
 Li_2CO_3 в смесях с Na_2CO_3

1964

9 Д204. Колебательные спектры некоторых замещенных ацетатных ионов. Ср. п. п. Е. The vibration spectra of some substituted acetate ions. «J. Chem. Soc.», 1964, Nov., 4217—4226 (англ.)

R₃COO⁻
коинейт.
спектр

Получены ИК-спектры ($4000\text{--}650\text{ см}^{-1}$) и спектры комб. рас. ($2600\text{--}200\text{ см}^{-1}$) солей RCOO⁻, где R = CH₃, C₂H₅, C₄H₉, CF₃, CCl₃, CBr₃, CHCl₂, CHBr₂, CH₂CN, CH₂F, CH₂Cl, CH₂Br и CH₂J. Частота очень интенсивной ИК-полосы около 1600 см^{-1} , приписываемая антисимметричным вал. кол. OCO-группы, заметно возрастает с увеличением электронно-акцепторных свойств R и не зависит от массы R. Интенсивная полоса около 1400 см^{-1} , приписываемая симметричным вал. кол. OCO-группы, уменьшается с ростом массы R и не зависит от электронно-акцепторных свойств R. Для объяснения этого предложена несимметричная нерезонансная структура карбоксилатной группы R-C(O-O⁻). Ниже 1200 см^{-1} спектр ацетатного иона сведен со спектром соответствующей уксусной кислоты.

9.1965. 98

$\text{Na}_2\text{C}_2\text{O}_4$

Pedersen B.F. 1967

B9P-4503-X

$\text{Na}_2\text{C}_2\text{O}_4 \cdot \text{H}_2\text{O}_2$

Acta chem. scand.,

$\text{Na}_2\text{C}_2\text{O}_4 \cdot \text{D}_2\text{O}_2$

21, N3, 801-811.

J_i

супорядка

империум шайки UK-
семи побывавшие
ок. сасаки об ученор-
мых экспериментов,

use regrates ob u nep -
regrates ob

(cse. $\text{Li}_2\text{C}_2\text{O}_4$)

Bp 6398-X

1764

VI (Na_2CO_3 , CaCO_3 , K_2CO_3 ,
 Cs_2CO_3) (spores) X-6398

Allokanibuk, Tarkib Al. U.

Mp. Kudur-wel, Gereja? Mu-ran Al Kas Lee,
1964, 3, 102-106.

Kasus yang membentuk cincin pada kalsifikasi
yang dikenal sebagai

Barlow, 1968, 216-244

10

Li_2CO_3 , Na_2CO_3 , K_2CO_3 (21) 1972
(pacuabu) X 7126

Bates J. B., Brooker M. H., Quist A. S.,
Boyd C. S.,

J. Phys. Chem., 1972, 76(II), 1565-24/Eug

Raman spectra of molten alkali metal carbonates

10

7

CA, 1972, 22, N4, 26823 g

50324.7311
Ph, Ch, TC

96200

1975

$\text{Na}^+ - \text{CO}$

* 4-8397

Kita S., Noda K., Inouye H.
Experimental determination of repulsive
potentials between alkali ions
(Li^+ , Na^+ , and K^+) and N_2 and CO molecules

"Chem. Phys.", 1975, 7, N 1, 156-160

(англ.)

0329 гиик

304 305

0321

ВИНИТИ

$\text{Na}_2\text{LaO}_4(\text{kp})$

1980

Di

' 95: 123260d Laser Raman and infrared spectra of ionic and covalent oxalates. Kartha, V. B.; Venkateswaran, S.; Patel, N. D. (Spectrosc. Div., Bhabha At. Res. Cent., Bombay, 400 085 India). *Indian J. Phys.*, [Part] B 1980, 54B(1-2), 36-43 (Eng). The laser Raman and far IR spectra of ionic $\text{Na}_2\text{C}_2\text{O}_4$ and various covalent rare earth oxalates were studied in detail. The spectra of $\text{Na}_2\text{C}_2\text{O}_4$ were interpreted fully in terms of the crystal structure for the 1st time. The out-of-plane bending and torsional modes of the oxalate ion were obsd. and assigned unequivocally. The rare earth oxalate spectra were interpreted by comparison with $\text{Na}_2\text{C}_2\text{O}_4$ spectra. The strength of coordination increases from La to Ho as indicated by the increase in the metal-O stretching vibration frequency and changes in the ligand vibrational frequencies.

C.A. 1980, 98, N14.

$\text{Na}_2\text{CO}_3(\text{k})$

1981

Child William C. Jr.,
Beguin George et al.

J. Chem. Soc., Faraday
Trans. 2 1981, 77 (12),
2237--2247.
(c.u. $\text{Li}_2\text{SO}_4(\text{k})$; III)

1921

Лонгвик 12619

Na-CO₂
концентр.
(NaCO₂)
геометр.,
M, NO -
механ.
кривые

Yoshiooka Y., Jordank K.D.
Chem. Phys. lett. 1981,
84(2), 370-374.



(cell Li-CO₂; III)

Na CO

1982

nomeris.
nobepxflcmt
 \tilde{X}^2A'
C:A. 1982,
97, N/4

97: 115574k Stereochemical effects in the quenching of excited atomic sodium (3^2P) by carbon monoxide: crossed beam experiment and ab initio CI potential energy surfaces. Reiland, Werner; Tittes, Hans Ulrich; Hertel, Ingolf V.; Bonacic-Koutecky, Vlasta; Persico, Maurizio (Inst. Molekulphys., Freie Univ. Berlin, D-1000 Berlin, Fed. Rep. Ger.). *J. Chem. Phys.* 1982, 77(4), 1908-20 (Eng). Electronic to vibration-rotational-translational energy transfer in the quenching of Na($3^2P_{3/2}$) by CO was studied with the state of the art crossed at., mol., and laser beam techniques at 0.16 eV initial kinetic energy, and by ab initio CI calcns. for the potential energy surfaces involved in the process. Double differential quenching cross sections were detd. as a function of scattering angle and energy transferred to the mol. A pronounced structure in the energy transfer spectra as well as a partial backward scattering is due to 2 different mechanisms: a direct one and one which proceeds through complex formation. The observations are explained by the calcd. potential energy surfaces (PES) for the first excited states and the ground state \tilde{X}^2A' which exhibit 2 crossing seams below the 2.1-eV excitation energy.

NaCO

Om-16211 / 1983

7 Д56. Применимость метода наложения конфигураций с псевдопотенциалом для исследования основного и возбужденных состояний молекулярных систем: NaCO, Li₂H, Al₂ и AlH. Applicability of a pseudopotential CT method to the investigation of ground and excited states of molecular systems: NaCO, Li₂H, Al₂ and AlH. Rascchioni Gianfranco. «Theor. chim. acta», 1983, 62, № 5, 461—475 (англ.)

расчет
потенц.
крикн.
и.л.

Рассчитаны кривые потенц. энергии для основного и некоторых возбужденных состояний NaCO, Li₂H, Al₂ и AlH. Использовался метод псевдопотенциала с учетом взаимодействия конфигураций, получающихся из заданного базиса с помощью одно- и двукратных возбуждений. Проводится сравнение с данными хартри-фоковских расчетов с учетом всех электронов и включением корреляций между валентными электронами. Обсуждается зависимость результатов от выбора базиса.

Л. Н. Иванов

9.1983, 18, № 7

(73)

NaCO

Om. 16211 1983

18 Б30. Применимость метода псевдопотенциала в сочетании с КВ для исследования основного и возбужденных состояний молекулярных систем: NaCO, Li₂H, Al₂ и AlH. Applicability of a pseudopotential CI method to the investigation of ground and excited states of molecular systems: NaCO, Li₂H, Al₂ and AlH. Racchioni G. «Theor. chim. acta», 1983, 62, № 5, 461—475 (англ.)

Исследована применимость в молек. расчетах приближения псевдопотенциала (ПП) для учета оставших электронов с использованием параметризации, предложенной ранее (Barthelat J. C., Durand P., Serafini A. «Mol. Phys.», 1977, 33, 159), в сочетании с учетом конфигурац. взаимодействия (КВ) по методу нескольких исходных конфигураций (НИК) с включением одно- и двукратно возбужденных конфигураций (ОД КВ), с отбором конфигураций, к-рые вносят вклад в энер-

расчет №.п.

5;

X. 1983, 19, n 18

гию не меньше данного порога, и с последующей экстраполяцией к полному КВ. В кач-ве пробных задач рассмотрены расчеты потенциальных кривых линейной системы NaCO (**I**) в основном $^2\Sigma^+$ и возбужденных $^2\Pi$ - и $^2\Sigma^+$ -состояниях, адсорбционного комплекса Li_2H (**II**) в основном и низшем возбужденном состояниях, двухатомных молекул Al_2 и AlH (**III**, **IV**) в основном, а **III** также и в возбужденных состояниях. Результаты сопоставлены с аналогичными расчетами НИК ОД КВ с учетом всех электронов (ВЭ, с включением только валентного КВ). Проанализировано влияние выбора базиса на результаты расчета. Использовали базисы двух- и трехэкспонентного типа с включением и без поляризац. и диффузных функций. Результаты расчетов в приближении ПП превосходно согласуются с результатами полных расчетов. Показано, что приближение ПП позволяет удовлетворительно описывать величины, к-рые очень чувствительны к выбору базиса и учету корреляционных эффектов.

А. Багатурьянц

NaCO

Om. 16211

1983

' 98: 185786a Applicability of a pseudopotential CI method to the investigation of ground and excited states of molecular

systems: sodium carbonyl (NaCO), lithium hydride (Li₂H), diatomic aluminum and aluminum hydride (AlH). Pacchioni, Gianfranco (Inst. Phys. Chem., Freie Univ. Berlin, D-1000 Berlin, 33 Fed. Rep. Ger.). *Theor. Chim. Acta* 1983, 62(5), 461-75 (Eng).

The potential energy curves for the ground and first excited states of some mols. involved in very different problems of theor. chem. were detd. employing the pseudopotential (PP) SCF procedure followed by multireference double-excitation CI treatment. The influence of the choice of the basic set is widely discussed. The PP results are overall in excellent agreement with the results obtained from the analogous all electron calcns. when sufficiently flexible basis sets are adopted. Some small discrepancies encountered are due to the use of minimal basis sets.

Li₂H, Al₂, AlH

C.A. 1983, 98, N22

Na^+ III CO

Om. 16524 1983

15 682. Неэмпирические расчеты равновесной геометрии и тензоров ядерного магнитного экранирования ядер ^{13}C , ^{17}O , ^{23}Na и ^7Li для систем Na^+/CO и Li^+/CO . Ab initio calculation of the equilibrium geometry and the ^{13}C , ^{17}O , ^{23}Na and ^7Li NMR shielding tensors of the systems Na^+/CO and Li^+/CO . Weller Th., Meiler W., Pfeifer H., Lischka H., Holler R. «Chem. Phys. Lett.», 1983, 95, № 6, 599—603 (англ.).

равновесной
структуре

Неэмпирическим методом МО ЛКАО ССП проведена оптимизация линейной геометрии систем Na^+/CO и Li^+/CO . Использован базис сгруппированных гауссовых ф-ций $8s4p1d/5s3p1d$ для атомов С и О, $10s6p/7s5p$ для Na и $9s/5s$ для Li. Для обеих систем найдены две стабильные структуры $\text{CO} \dots \text{M}^+$ (А) и $\text{M}^+ \dots \text{CO}$ (Б). Длина связи С—О увеличена и уменьшена (по сравнению с изолированной молекулой CO) на $\sim 0,01$ Å в структурах А и Б соотв. Расстояние O—M⁺ в структурах А на $\sim 0,3$ Å больше расстояния M⁺=C в структурах Б, причем эти расстояния для M=Na больше, чем для M=Li. Для обеих систем структура А немногого стабильнее структуры Б. При найденных равно-

Li^+ (II) CO

X. 1983, 19, N 15

весных геометриях проведены расчеты тензоров ядерного магнитного экранирования ^{13}C , ^{17}O , ^{23}Na и ^{7}Li в рамках связанный самосогласованной теории возмущений. При этом использовался больший базис $10s6p2d$ для C, O и Na и $9s2p$ для Li. Изменения экранирования ядер ^{13}C и ^{17}O при комплексообразовании затрагивают в основном компоненту, перпендикулярную к связи CO. Для ядер ^{13}C эта компонента уменьшается (сдвиг в слабое поле) на 20—25 млн. д. в структурах А и увеличивается на 35—40 млн. д. в структурах Б. Соответствующие изменения для ядер ^{17}O имеют обратный знак: увеличение на 75—90 млн. д. в структурах А и уменьшение на 10—15 млн. д. в структурах Б. Вычисленные изменения экранирования малы по сравнению с изученной ранее системой Al^{3+}/CO («Chem. Phys.», 1982, 72, 155). Проведено сопоставление с эксперим. данными ЯМР для CO, адсорбированных на цеолитах, содержащих катионы щел. металлов. Обсуждена корреляция между изменениями ядерного магнитного экранирования и перераспределением электронной плотности при приближении катиона.

М. Гофман

$\text{Na}^+ \dots \text{CO}$

[Om. 16524] 1983

798: 204737d Ab initio calculation of the equilibrium geometry and the carbon-13, oxygen-17, sodium-23, and lithium-7 NMR shielding tensors of the sodium(+) ion/carbon monoxide and lithium(+) ion/carbon monoxide systems. Weller, T.; Meiler, W.; Pfeifer, H.; Lischka, H.; Hoeller, R. (Sekt. Phys., Karl-Marx-Univ. Leipzig, DDR-7010 Leipzig, Ger. Dem. Rep.). *Chem. Phys. Lett.* 1983, 95(6), 599-603 (Eng). In ab-initio SCF calcns., 2 min. in the stabilization energies were found for the Na^+ -CO and Li^+ -CO complexes. The min. corresponding to CO... Na^+ is slightly deeper than in $\text{Na}^+ \dots \text{CO}$. The min. corresponding to CO... Li^+ is deeper than in $\text{Li}^+ \dots \text{CO}$. The ^{13}C , ^{17}O , ^{23}Na , and ^7Li NMR shielding tensors were computed with the coupled-Hatree-Fock method with large Gaussian basis sets.

meopm.
paarem
cmphysf.

(7)

C.A. 1983, 98, N24

$\text{Na}^+ - \text{CD}_\cdot$

Лон. 19854

1984

Ikuta S.,

синглетного,
дигидро
кетона,
ab initio
расчет.

Chem. Phys. Lett.,
1984, 109, N 6, 550 -
553.

NaCO_2

1984

Jordan Kenneth D.

církykm.,
Pi, meop.
pacrée.

J. Phys. Chem. 1984,
88 (12), 2459 - 65.

(cfr. LiCO_2 ; II)

Na_2CO_2

1984

Jordan Kenneth D.

ee^ēpykm., J. Phys. Chem. 1984,
Pi, meop. 88 (12), 2459-65.
pacree-

(ee. LiCO_2 ; III)

$\text{Na}^+ - \text{CO}$

1984

Ikuta Shigeru.

Pacrein E,
Zelouzeimp.,
Chipykmi.

Chem. Phys. Lett.,
1984, 109, N 6, 550 -
- 553.

(Cu-Li-CO; III)

Na- CO_2

1984

Jordan Kenneth D.

pacient
wzorcew,
cięzykm.

J. Phys. Chem., 1984,
88, N 12, 2459-2465

(cu Li- CO_2 ; II)

Na CO₂

от. 19089 1984

17 Б1221. Активация диоксида углерода щелочными металлами. 2. Инфракрасные спектры $M^+CO_2^-$ и $M_2^{2+}CO_2^{2-}$ в аргоновых и азотных матрицах. Carbon dioxide activation by alkali metals. 2. Infrared spectra of $M^+CO_2^-$ and $M_2^{2+}CO_2^{2-}$ in argon and nitrogen matrices. Kafafi Zakya H., Hauge Robert H., Billups W. Edward, Marggraff John L. «Inorg. Chem.», 1984, 23, № 2, 177—183 (англ.)

Измерены ИК-спектры продуктов реакции атомов Na, K и Cs с молекулами CO₂ в матрицах из аргона и азота. Пары металлов сосаждали с CO₂, смешанным с избытком инертного газа, на медную подложку при 15 К. Для отнесения полос в спектрах использовалось изотопозамещение по ¹³C и ¹⁸O и фотолиз в матрице. Показано, что во всех р-циях образуются молекулы типа $M^+CO_2^-$, для к-рых установлена симметрия C_{2v} с эквивалентными атомами кислорода. Сртв. частоты антисим. вал. кол. равны (см^{-1}): NaCO₂ 1601,6 (Аг), KCO₂ 1609,9 (N₂), CsCO₂ 1595,3 (Аг). Для CsCO₂ получено также значение $\nu_1(A_1)$, равное 1352,8 см^{-1} (Аг).

⊗ (44)

Di, геометр.,
структур.

X. 1984, 19, N 17

В спектрах продуктов реакции $K, Cs + CO_2$ обнаружены также полосы молекул типа $M_2^{2+}CO_2^{-}$, к-рые существуют в виде двух изомеров: симметрии C_{2v} с эквивалентными и C_s с неэквивалентными атомами кислорода. Предположено, что молекулы M_2CO_2 образуются в результате втор. р-ции между димером металла и CO_2 . Определены след. значения частот колебаний ν_5 , ν_1 и ν_2 для M_2CO_2 симметрии C_{2v} в матрице из N_2 : Cs_2CO_2 1328,7, $1186,7$ и 745,2, K_2CO_2 1342,3, 1184,0 и $738,8\text{ cm}^{-1}$, и частот колебаний ν_1 и ν_2 для симметрии C_s : Cs_2CO_2 1320,0 и 1050,0, K_2CO_2 1328,6 и 1052,1 cm^{-1} . Отмечено, что при ИК-фотолизе излучением источника Нернста в спектрофотометре C_{2v} -форма переходит в C_s . Р-ция $Na+CO_2$ идет с небольшим выходом в Аг-матрице, но активируется посредством УФ-фотолиза Hg-лампой (100 вт) во время или после конденсации. В приближении трехатомной молекулы рассчитаны валентные углы для CO_2^- в KCO_2 ($131,1^\circ$) и $CsCO_2$ ($126,9^\circ$) и для CO_2^{2-} в K_2CO_2 ($125,9^\circ$) и Cs_2CO_2 ($123,1^\circ$). Получены также частоты колебаний молекул K_nCO_2 , K_2CO_3 , $KCsCO_3$ и Cs_2CO_3 в матрице из N_2 . Предложена схема последовательности р-ций для исследуемых систем в матрицах. С. Б. Осин

NaCl_2

(M. 22346)

1985

Bentley J., Carmichael J.

meop.
paerim

J. Phys. Chem., 1985,
89, N 19, 4040 - 4042.

№ 20

(DM. 22986)

1985

Чаркеев О. Г., Ильин
Владимир. D. P., Клерменского Н. Н.
различных
различных
конфигурац. 1985, 11, N 4, 445-456

Na⁺, CO (dm. 20 986) 1985

Charkin O.P., Musaev
Узомургъзес, Д. Г.; et al.
meop. Koord. Khim. 1985,
pacem. II (4), 445-56.

(Ces. LiCN; III)

Kaunovský

[OM. 24647]

1985

Na CO

Fantucci, P., Bonocšíć-
Rosteký V., et al.,

meopen
paerem

J. Comput. Chem., 1985,
6, N. 5, 462-468.

Na^+-CD (OM 21399)

1985

Ikuta S.,

3Hepres
ebs3u,
ab initio
paerem.

Chem. Phys., 1985, 95,
N2, 235-242.

Na CO₂

Na₂(CO₂)

и.н.

1986

№ 11 Б1221. Колебательные спектры и структура молекул M(CO₂) и M₂(CO₂). Vibrational spectra and structure of M(CO₂) and M₂(CO₂) molecules. Bencivenni L., D'Alessio L., Ramondo F., Pelino M. «Inorg. chim. acta», 1986, 121, № 2, 161—166 (англ.)

Измерены ИК-спектры и спектры КР продуктов соконденсации паров щел. металла (M=Na, K, Cs) с CO₂, изолированных в матрицах Ag и N₂ на медной подложке при т-ре 12 К. Спектральная картина зависит от соотношений компонентов матрицы и от т-ры. При отношении M:CO₂=1:1 в спектре обнаружены полосы ионного комплекса M(CO₂) с симметрией C_{2v}, имеющего плоскую циклич. конфигурации. При отношении M:CO₂=2:1 образуются ионные комплексы M₂(CO₂), имеющие W-образную структуру с симметрией C_{2v}. При Фт матрицы комплекс M₂(CO₂) изомеризуется в комплексе с неэквивалентными связями C—O и с симметрией C_s. Геометрич. параметры комплексов определены с помощью расчета норм. кол., учитывая ¹²C/¹³C и ¹⁶O/¹⁸O — изотопич. сдвиги частот. При отжиге матрицы в спектрах появляются полосы карбонатов.

И. А. Гарбузова

+2

X. 1987, 19, № 11

1) K_2CO_3 , $K_2(CO_3)$

2) $CaCO_3$, $Ca_2(CO_3)$



$\text{Na}(\text{CO}_2)$

$\text{Na}_2(\text{CO}_2)$

1986

106: 75241v Vibrational spectra and structure of $\text{M}(\text{CO}_2)$ and $\text{M}_2(\text{CO}_2)$ molecules. Bencivenni, L.; D'Alessio, L.; Ramondo, F.; Pelino, M. (Dip. Chim., Univ. Roma, I-00185 Rome, Italy). *Inorg. Chim. Acta* 1986, 121(2), 161-6 (Eng). At. Na, K, and Cs were codeposited with CO_2 in excess of matrix gas at 12 K. The IR spectra revealed the presence of ionic aggregates corresponding to $\text{M}(\text{CO}_2)$ and $\text{M}_2(\text{CO}_2)$ ($\text{M} = \text{Na}, \text{K}, \text{Cs}$). Both mol. species have C_{2v} symmetry; $\text{M}(\text{CO}_2)$ species have a planar ring structure, while $\text{M}_2(\text{CO}_2)$ have a W-shape structure. $\text{M}_2(\text{CO}_2)$ mols. with C_s symmetry were identified. The geometrical parameters of all the mols. were detd. by $^{12}\text{C}/^{13}\text{C}$ and $^{16}\text{O}/^{18}\text{O}$ isotopic shifts. Raman spectra were recorded, and the results are reported. The effect of photolysis on the structure of these mols. was examd.. Photolysis promotes the formation of $\text{Na}(\text{CO}_2)$ and transforms the $\text{M}_2(\text{CO}_2)$ mols. with C_{2v} symmetry into C_s symmetry isomers.

JK CREEPER

(72) \otimes

c.A.1987, 106, n 10



JK(CO_2)

K₂(CO_2)

JK(CO_2)

CS₂(CO_2)

Na^+OC

Na^+CO

Low. 24/95

1986

pacrem

Eug. 4

Барбер
420 лист.

Чаркеев О.И.,
Зюбченко Т.С.

Коопгернас. осв. 1986,
1986, 12, N 8, 1011-1037.

$\text{Na}^+ - \text{CO}$

1986

Koernerová

Ikuta Shigeru.

J. Mol. Struct. Theochem,

Hepzecš
LBB34

1986, 137, N 3-4, 329-
-340.

(cfr. Koernerová $\text{Li}^+ - \text{CO}$; II)

$\text{Na}^+(\text{CO})_2$ 1986

Ikuta Shigeru.

Ref.

J. Mol. Struct. Theochem,
1986, 137, N3-4, 329-
-340.

(cal. $\text{Li}^+(\text{CO})_2$; III)

$\text{Na}^+ \dots \text{CO}_2$

1987

8 Д154. Поверхности потенциальной энергии для $\text{X}^+ \dots \text{CO}_2$ ($\text{X} = \text{Na}, \text{K}$) систем. Potential energy surfaces for the $\text{X}^+ \dots \text{CO}_2$ ($\text{X} = \text{Na}, \text{K}$) systems. Mota Fernández, Novoa Juan J., Perez Juan J. «J. Mol. Struct. Theor. chem.», 1987, 149, № 3—4, 193—200 (англ.)

Базисные наборы молекулярных орбиталей, известные в литературе под названиями MINI—1 и MIDI—1 (Sakai Y., Tatewaki H., Huzinaga S. «J. Comput. Chem.», 1982, 3, 6) использованы в расчетах поверхностей потенц. энергии для систем $\text{Na}^+ \dots \text{CO}_2$ и $\text{K}^+ \dots \text{CO}_2$. Приведены таблицы полных энергий и энергий взаимодействия для некоторых избранных состояний; при этом соответствующие вычисления проводились как в хартрифоковском приближении, так и с учетом эффектов электронных корреляций во втором порядке теории возмущений. Дан сравнительный анализ достоинств и недостатков для каждого из используемых базисных наборов.

В. Г. Пальчиков

φ. 1987, 18, N8

$\text{K}^+ \dots \text{CO}_2$

$\text{Na}^+ \dots \text{Cl}_2$

1987

Б 12 Б1073. Поверхности потенциальной энергии для систем $\text{X}^+ \dots \text{CO}_2$ ($\text{X} = \text{Na, K}$). Potential energy surfaces for the $\text{X}^+ \dots \text{CO}_2$ ($\text{X} = \text{Na, K}$) systems. Mota Fernando, Novoa Juan J., Pérez Juan J. «J. Mol. Struct. Theochem», 1987, 149, 193—200 (англ.)

Неэмпирическим методом ССП с учетом энергии корреляции по теории возмущений Меллера — Плессета 2-го порядка при фиксированной геометрии CO_2 проведены расчеты комплексов $\text{X}^+ \dots \text{CO}_2$ ($\text{X} = \text{Na, K}$). Использованы базисы MJNJ-1 и MJDJ-1*. Учтена суперпозиц. ошибка базисного набора. Варьировали расстояние $R(\text{X} \dots \text{C})$ и угол θ между направлениями $\text{X} \dots \text{C}$ и $\text{O}=\text{C}=\text{O}$. В базисе MJNJ-1 оба потенциальных сечения вдоль R имеют абс. минимумы при $\theta=0$ ($R_m = 6.24a_0$ для Na^+ и $7.153a_0$ для K^+). Энергии комплексообразования в этих точках равны $-14,3$ и $-8,5$ ккал/моль для Na^+ и K^+ соответственно. Э. Д. Г.

(7) ~~✓~~

X. 1987, 19, N/2

$\text{K}^+ \dots \text{Cl}_2$

Nat⁺, CO [Om. 26059]

1987

roberto-
romero.
heppner

Mota F., Novoa J. J.,
Pérez J. J.,

J. Mol. Struct.
(Theochim), 1987, 149,
193 — 200.

$\text{Na}^+ \dots \text{CO}_2$

1987

106: 182833m Potential energy surfaces for the $\text{X}^+ \cdots \text{carbon dioxide}$ ($\text{X} = \text{sodium, potassium}$) systems. Mota, Fernando; Novoa, Juan J.; Perez, Juan J. (Fac. Quim., Univ. Barcelona, Barcelona, Spain 08028). THEOCHEM. 1987, 34(3-4), 193-200 (Eng). There was calculated the potential energy surfaces for the $\text{Na}^+ \dots \text{CO}_2$ and $\text{K}^+ \dots \text{CO}_2$ systems, obtained at the Hartree-Fock level, using the recently proposed MINI-1 basis set. The interaction energy of both systems was computed at the same level and also, with the inclusion of the electronic correlation along with 2nd-order Moeller-Plesset, using the MIDI-1* and further extended basis sets. These results support the accuracy of those obtained with the MINI and MIDI-1* basis sets when the counterpoise correction is carried out.

ROMERS
NOBERTHOMS,
MOP·PAREN

④ $\text{K}^+ \dots \text{CO}_2$

c.A.1987, 106, NL2

NaCO
Na₂CO₂
Na₃CO₂

09.29.998 1988

№ 1 Б1347. Взаимодействие Na и K с монооксидом углерода в твердом аргоне. Исследование ИК-спектров и неэмпирические расчеты. Reactivity of Na and K with carbon monoxide in solid argon: an infrared and ab initio study. Ayed O., Manceron L., Silvi B. // J. Phys. Chem.— 1988.— 92, № 1,— С. 37—45.— Англ.

Измерены ИК-спектры продуктов, образующихся при соконденсации атомов Na и K с молекулами CO в матрицах из Ar при 13—14 К. В отличие от системы Li/CO, в спектрах разб. матриц отсутствуют полосы продуктов, аналогичных монокарбонилу Li. При облучении матриц в видимом и УФ-диапазоне в ИК-спектрах зарегистрирован ряд новых полос, к-рые на основании анализа изотопных сдвигов по ¹³C и ¹⁸O, а также фотолитич. чувствительности полос связываются с соединениями типа MC₂O₂, M₂C₂O₂, M₂C₃O₃ и, возможно, M₃C₄O₄. Методами ССП и КВ выполнены неэмпирич. расчеты равновесной геометрич. структуры, распре-

М.Н.

Х. 1989, № 1

деления электронной плотности и колебат. спектров молекул NaCO , NaC_2O_2 и $\text{Na}_2\text{C}_2\text{O}_2$. Согласно расчету для NaC_2O_2 , спектр к-рого лучше всего описывается в предположении дисимм. группы OCCO^- , связанной с металлом связью $M-\text{C}$, энергия низшего уровня лежит на 29 ккал выше диссоциац. предела $\text{Na}(^2S_{1/2}) + 2\text{CO}(X^1\Sigma^+)$. Для $\text{Na}_2\text{C}_2\text{O}_2$ предложено ионное строение $\text{Na}^+-\text{O}-\text{C}=\text{C}-\text{O}-\text{Na}^+$. Предсказанный колебат. спектр хорошо согласуется с наблюдаемым. С. Б. Осин

NaCO^+ 1988

NaOC^+ Dixon David A.,
Bole James L., et al.

církykm. J. Phys. Chem. 1988,
92(5), 1378-82.

(Ccl. • $\text{LiH}_2^+ \cdot \bar{\text{m}}$)

Nazca D₄ (Dn. 31243)

1989

конфан.
CREMPS

Кумадевский Н.Н., Шаро-
нов О.Г.,

Д. Астрон. журн., 1989,
34, № 3, 567-571.

Конфиденциаль
океанант. наиме
свежему
и смеш.

NaCl_2 Ramondo F., Sanna N.,¹⁹⁹¹
et al.

cryx-
myna,
racem Chem. Phys. Lett. 1991.
180, N.Y.C. 369-380.

(cer.  LiSO_3 ; III)

Na_2CO_3 Ramondo F., 1992
Bencivenni L.; et al.

новоемп., г. Мол. Struct.
структ., Theochem. 1992.
засијаје 2.53. с. 121-147.
којебачиј. (с. AsO_3^- ; III)

NaCl_2

1992

Ramondo F.,
Sanna N. et al.

meop.
parcēm

Chem. Phys. Lett.
1992, 193 (6), 594.

(eeep. SO_3^- ; II)



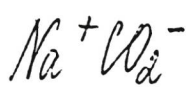
1994

Köppen R., Kasai P. H.

M.-n.

J. Phys. Chem. 1994. 98,
N 44. C. 11331 - 11336.

(see $\bullet \text{Li}^+ \text{CO}_3^-$; III)



(OM-38136)

1995

Сирикава,
Макаров.
составл.,
ab initio
vacuum

Tachikawa H, Takatori Y,
et al.,

J. Mol. Struct. (Theorchem)
1995, 342, 1-7.

Formation and isomeriza-
tion mechanisms of $M^+CO_2^-$

($M = Li, Na$) ion-pair complexes.
An ab initio and RRKM study

NaCB^-

1998

Charkin D.P. et al.,

ab initio
расчет,
 μ_i , ω_i , ΔE_i ;
математ.,
смайкапс

Zh. Neorg. Khim. 1998,
43 (4), 819 - 630

(ал. LiNO_3 ; III)

Naz CO₃

1998

Charkin D.O. et al;

romets
nberash,
спукай
нагади,
Di

Zh. Neorg. Khim.
1998, 43(10), 1694—
1709

(all - dia CO₃; III)

$\text{Na}^+(\text{CD})_x$

DM: 39412

1998

$x=1,2$

Derek Walter, M.R. Sievers
et al.,

In Internat. J. Mass Spectrom.
and Ion Processes 1998,
175, 93- 106.

Nalde

1998

Mele, Franca; et al.,

meopem-
racem
Cmp-Me

^u
CMATURH.

Chem. Phys. Lett.
1998) 295 (5, 6), 409 -

415

(all-Zilla^o, III)



1998

 $x=1, 2$

Walter, Derek, et al.,

Int. J. Mass Spectrom. Ion
Processes 1998, 175 (1-2), 93-
106.

 (R_0)

(cell. $(CD)_{1-x}$ ● $Li^+ - CD$; III)

$\text{Na}^+ \cdot \text{CO}_2$ m - 39985 1999

cmp-pa,
matuH. Pavel Šoldán et al.,
Chem. Phys. Lett., 1999,
313, 379-384.